

01;07

## Фокусирующий рентгеновский дифрактор: влияние параметров изгиба кристалла на спектральное разрешение

© Е.М. Латуш, М.И. Мазурицкий

Ростовский государственный университет, Ростов-на-Дону

E-mail:mazurmik@icomm.ru

Поступило в Редакцию 4 сентября 2001 г.

В приближении точечного источника излучения проведено теоретическое исследование зависимости спектрального разрешения фокусирующего рентгеновского дифрактора от формы и кривизны кристаллографических поверхностей в плоскости, перпендикулярной плоскости круга фокусировки. Для эллипсоидального и тороидального типов изгиба кристалла получены значения параметров кривизны, при которых достигается наилучшее спектральное разрешение.

Для монохроматизации рентгеновского излучения используются совершенные и мозаичные кристаллы (кварц, кремний, германий, слюда, графит и др.). Традиционные кристалл-дифракционные методы разработаны и описаны достаточно полно [1–4]. Под параметром разрешения принято понимать безразмерную величину отношения  $\Delta E/E$  или  $\Delta\lambda/\lambda$ , где  $E$  — энергия кванта рентгеновского излучения ( $\lambda$  — соответствующая длина волны). Если  $\theta$  — угол Брэгга между падающим лучом и касательной к соответствующей кристаллографической плоскости, то из закона Брэгга следует, что допустимая величина варьирования угла Брэгга  $\Delta\theta$  определяет спектральное разрешение следующим образом:

$$\Delta\lambda/\lambda = \Delta\theta/\operatorname{tg}\theta \quad (1)$$

и зависит главным образом от ниже перечисленных факторов: мозаичного несовершенства используемого кристалла, метода разложения рентгеновского излучения в спектр, размера отражающей брэгговской поверхности кристалла — дифрактора.

В настоящее время для монохроматизации рентгеновского излучения используют отражение от плоских или изогнутых кристаллов. Последние применяются для точечных источников излучения (размеры

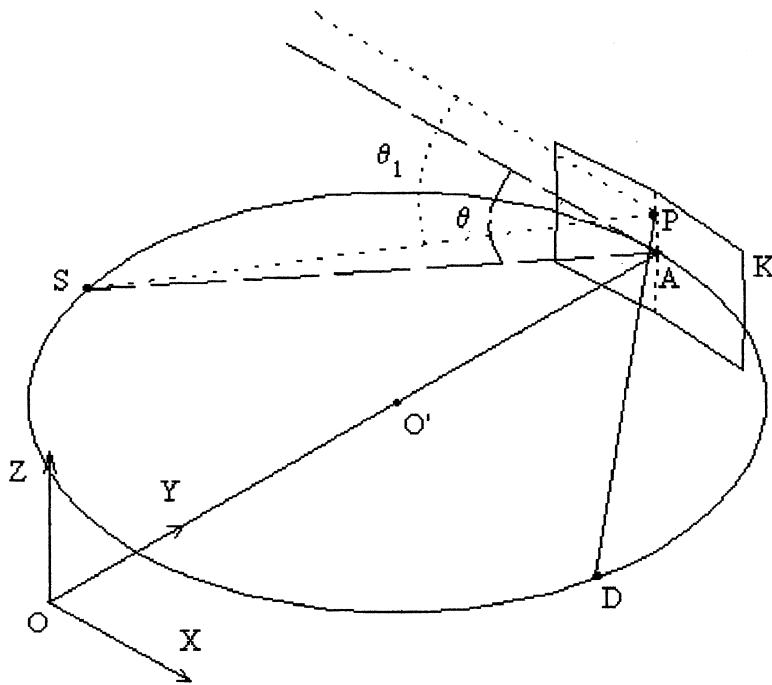


Схема расположения на круге фокусировки источника излучения  $S$  и изогнутого кристалла  $K$ .

которых, как правило, не превышают значения радиуса кривизны, умноженного на  $\Delta\lambda/\lambda$ ) и позволяют обеспечивать фокусировку лучей заданной длины волны в приемное окно детектора. В работе [5] нами описан алгоритм и результаты компьютерного моделирования формы брэгговских зон на поверхности изогнутого кристалла.

Исследуем зависимость спектрального разрешения от кривизны изгиба кристалла в плоскости, перпендикулярной плоскости фокального круга. На рисунке изображена схема расположения источника излучения  $S$  и изогнутого кристалла-дифрактора  $K$ .  $XYZ$  — система координат.  $O'$ ,  $O$  — центры круга фокусировки и кривизны кристалла в плоскости  $YOZ$  соответственно. Обозначим через  $r$  отрезок  $O'A$  — радиус круга фокусировки. Окружность фокусировки, расположенная в плоскости  $XOY$ , проходит через точку  $S$ , где находится источник излу-

чения, точку  $A$  — вершину диффрактора и точку  $D$  — местоположение детектора.

Рассмотрим тороидальный и эллипсоидальный типы изгибов кристалла. Цилиндрический и сферический изгибы могут рассматриваться, как частные случаи эллипсоидального. Плоскости  $XOY$  и  $YOZ$  являются плоскостями симметрии кристалла. Для любой точки  $P$ , лежащей на поверхности кристалла в плоскости  $YOZ$  (отличной от точки  $A$  — вершины диффрактора), угол  $\theta_1$  отличается от угла  $\theta$ . То есть при рассмотрении брэгговской дифракции в плоскости  $YOZ$  излучение падает из точки  $S$  под несколько другим углом к касательной в точке  $P$ , чем в центре изогнутого кристалла. Очевидно также, что углы  $\theta_1$  и  $\theta$  отличаются тем больше, чем дальше точка  $P$  расположена от вершины кристалла. Таким образом, величина отличия угла дифракции  $\theta_1$  от истинного угла Брэгга  $\theta$  равна  $\Delta\theta = \theta_1 - \theta$  и зависит от  $z$  — координаты точки  $P$ . Значение  $\Delta\theta$  для фиксированного  $z$ , в свою очередь, зависит от кривизны кристалла в плоскости  $YOZ$ . Обозначим через  $b$  — радиус кривизны кристалла в плоскости  $YOZ$  для тороидального изгиба или величину соответствующей полуоси для случая эллипсоида вращения. Исследуем поведение функции  $\Delta\theta(b)$  на множестве  $b \in (0, \infty)$  при фиксированном значении  $z \neq 40$ . (При  $z = 0$   $\theta_1 = \theta$  и функция  $\Delta\theta(b)$  обращается в нуль).

Рассмотрим тороидальный тип изгиба кристалла-диффрактора. Покажем, что функция  $\Delta\theta(b)$  при  $z \neq 0$  на множестве значений  $b \in (0, \infty)$  обращается в нуль в точках  $2r$  и  $2r \sin^2 \theta$ . Сечение кристалла плоскостью  $YOZ$  представляет собой дугу окружности с центром в точке  $O$ , радиуса  $OA = b$ . Таким образом, в плоскости  $YOZ$  уравнение тора имеет вид:  $y^2 + z^2 = b^2$ .

Известно, что для диффракторов, применяемых в рентгеновской спектроскопии, значение  $|z/b| \leq 10^{-2}$ , т. е. малая величина. Приближенно, с точностью до членов второго порядка малости можем представить выражение  $y = \sqrt{b^2 - z^2} = b\sqrt{1 - z^2/b^2}$  в виде  $y \approx b - z^2/(2b)$ . Используя координаты точек  $P$ ,  $O$ ,  $S$  и учитывая полученное приближенное выражение, легко получить выражения для векторов  $\mathbf{PS}$  и  $\mathbf{n}$  (нормаль к атомной плоскости кристалла в точке  $P$ )

$$\begin{aligned} \mathbf{PS} &\approx -2r \sin \theta \cos \theta \cdot \mathbf{i} + \left( \frac{z^2}{2b} - 2r \sin^2 \theta \right) \cdot \mathbf{j} - z \cdot \mathbf{k}; \\ \mathbf{n} &\approx \mathbf{PO} = \left( \frac{z^2}{2b} - b \right) \cdot \mathbf{j} - z \cdot \mathbf{k}. \end{aligned} \quad (2)$$

Найдем  $\sin \theta_1$  через скалярное произведение векторов  $\mathbf{PS}$  и  $\mathbf{n}$ :

$$\sin \theta_1 = \cos(90 - \theta_1) = \frac{(\mathbf{n} \cdot \mathbf{PS})}{|\mathbf{n}| \cdot |\mathbf{PS}|}, \quad (3)$$

$\Delta\theta = \theta_1 - \theta \approx \sin \theta_1 - \sin \theta$ , тогда, используя (2), (3), получим приближенное выражение

$$\Delta\theta \approx -\frac{z^2}{b^2} \cdot \frac{1 - 2(r/b)(1 + \sin^2 \theta) + 4(r/b)^2 \sin^2 \theta}{8(r/b)^2 \sin \theta + (z/b)^2(1/\sin \theta - 2(r/b) \sin \theta)}. \quad (4)$$

Рассмотрим выражение (4). Функция обращается в нуль, когда числитель дроби в нуль обращается. Корнями квадратного уравнения  $b^2 - 2r(1 + \sin^2 \theta)b + 4r^2 \sin^2 \theta = 0$  являются:

$$\{b = 2r; \quad b = 2r \sin^2 \theta\}. \quad (5)$$

Для найденных значений  $b$  знаменатель дроби не обращается в нуль, поскольку  $\theta \in [20^\circ, 60^\circ]$ , а  $r \gg |z|$ .

Очевидно, что минимальное значение  $|\Delta\theta|$  для тороидального изгиба достигается при условии (5). Поскольку  $\Delta\theta$  определяет спектральное разрешение (1) дифрактора, то для произвольной точки  $P(0, y, z)$ , лежащей в плоскости  $YOZ$ , наилучшее спектральное разрешение достигается именно при условии (5).

Известно, что в плоскости круга фокусировки следует использовать значение радиуса кривизны, равное  $2r$ , полагая его оптимальным для достижения наилучшего спектрального разрешения. Тогда в соответствии с условием (5) для тора соотношение радиусов кривизны в плоскости  $XOY$  и  $YOZ$  ( $R_H$  и  $R_V$  соответственно) определяется следующим образом:

$$\frac{R_V}{R_H} = \begin{cases} 1 & (\text{сфера}) \\ \sin^2 \theta. & \end{cases} \quad (6)$$

Рассмотрим эллипсоидальный тип изгиба кристалла-дифрактора. Покажем, что функция  $\Delta\theta(b)$  при  $z \neq 0$  на множестве значений  $b \in (0, \infty)$  обращается в нуль в точках  $\sqrt{2ra}$  и  $\sqrt{2ra} \sin \theta$ . Сечение кристалла плоскостью  $YOZ$  представляет собой дугу эллипса с центром в точке  $O$ , с полуосями  $a$  и  $b$  (вдоль оси  $Y$  и  $Z$  соответственно). Таким образом, в плоскости  $YOZ$  уравнение эллипсоида имеет вид:  $y^2/a^2 + z^2/b^2 = 1$ .

Аналогично рассуждениям, приведенным для случая тороидального изгиба, можем приближенно представить выражение  $y = a\sqrt{1 - z^2/b^2}$  в виде  $y \approx a - (z^2a)/(2b^2)$ . Используя координаты точек  $P, O, S$  и учитывая полученное приближенное выражение, можно получить выражения для векторов  $\mathbf{PS}$  и  $\mathbf{n}$ :

$$\begin{aligned}\mathbf{PS} &\approx -2r \sin \theta \cos \theta \cdot \mathbf{i} + \left( \frac{z^2a}{2b^2} - 2r \sin^2 \theta \right) \cdot \mathbf{j} - z \cdot \mathbf{k}; \\ \mathbf{n} &\approx \left( \frac{z^2a}{2b^2} - a \right) \cdot \mathbf{j} - \frac{a^2}{b^2} z \cdot \mathbf{k}.\end{aligned}\quad (7)$$

Найдем  $\sin \theta_1$  аналогично тороидальному изгибу по формуле (3).  $\Delta\theta = \theta_1 - \theta \approx \sin \theta_1 - \sin \theta$ , тогда, используя (3), (7), получим приближенное выражение:

$$\begin{aligned}\Delta\theta &\approx -\frac{z^2}{b^2} \\ &\times \frac{1 - 2(ra/b^2)(1 + \sin^2 \theta) + 4(ra/b^2)^2 \sin^2 \theta}{(1 + (z/b)^2(a^2/b^2 - 1)/2) \times} \cdot (8) \\ &\quad \times (8(r/b)^2 \sin \theta + (z/b)^2(1/\sin \theta - (2ra/b^2) \sin \theta))\end{aligned}$$

Рассмотрим выражение (8). Функция обращается в нуль, когда числитель дроби принимает нулевые значения. Корнями биквадратного уравнения  $b^4 - 2ra(1 + \sin^2 \theta)b^2 + 4r^2a^2 \sin^2 \theta = 0$  являются:  $\{b^2 = 2ra; b^2 = 2ra \sin^2 \theta\}$ ; поскольку  $b > 0$ , то

$$\{b = \sqrt{2ra}; \quad b = \sqrt{2ra} \sin \theta\}.\quad (9)$$

Для найденных значений  $b$  знаменатель дроби в нуль не обращается, так как  $r \gg |z|$ , а угол Брэгга  $\theta \in [20^\circ, 60^\circ]$ . Очевидно также, что минимальное значение  $|\Delta\theta|$  для эллипсоидального изгиба достигается при условии (9). Поскольку  $\Delta\theta$  определяет спектральное разрешение (1) диффрактора, то для произвольной точки  $P(0, y, z)$ , лежащей в плоскости  $YOZ$ , наилучшее спектральное разрешение достигается именно при условии (9).

Поскольку сечение эллипсоида плоскостью  $XOY$  представляет собой дугу окружности с центром в точке  $O$ , радиусом  $2r$  ( $a = 2r$ , так как это

значение радиуса кривизны в плоскости круга фокусировки), постольку в соответствии с условием (9) для эллипсоида оптимальное соотношение значений его полуосей в плоскости  $XOY$  и  $YOZ$  определяется следующим образом:

$$\frac{b}{a} = \begin{cases} 1 & (\text{сфера}) \\ \sin \theta. & \end{cases} \quad (10)$$

## Список литературы

- [1] *Freund A.K.* X-ray Optics. Grenoble: ESRF, 1987. 54.
- [2] *Bonnelle C., Mande C.* Advances in x-ray spectroscopy. Oxford and New York: Pergamon Press, 1982. 423.
- [3] *DuMond J.W.M., Kirpatrick A.* // Rev. Sci. Instrum. 1930. V. 1. P. 88.
- [4] *Johann H.H.* // Z. Phys. 1931. V. 69. P. 185.
- [5] *Мазурицкий М.И., Солдатов А.В., Латуш Е.М., Ляшенко В.Л., Марчелли А.* // Письма в ЖТФ. 1999. Т. 25. В. 19. С. 11–16.